

# 미분탄 연소에서 NOx 저감을 위한 공기다단의 효과

장길홍 · 장인갑 · 선칠영 · 천무환 · 양관모

## Effect of Air Staging on NOx Reduction in Pulverized Coal Combustion

Gil Hong Jang, In Gab Chang, Chil Young Sun, Mu Hwan Chon, Gwan Mo Yang

**Key Words :** Air staged combustion, Primary zone air ratio, NOx emission

### Abstract

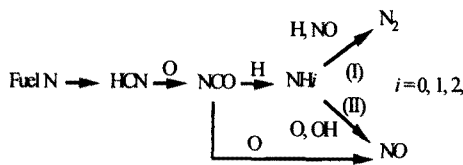
The influences of air staging on NOx emission and burnout of coal flames were investigated using 1MWth combustion test facility. The experiments showed that variation of overall excess air ratio led to a relatively higher NOx emission level for  $\lambda=1.2$ . When air staging was applied to the combustion air, it was confirmed that a fuel rich primary combustion zone was established and unburned char was burened completely by mixing with the staged air supplied radially around the flame. The NOx emissions were reduced by increasing the staged air flow rate, and staging air was suggested to be more than 40% of the total combustion air for the substantial NOx reduction.

### 기호설명

- $\lambda_p$  1 차영역 공기비 (Primary zone air ratio)  
 $T_x$  연소율(burnout)  
 $S$  선회강도(swirl number)

### 1. 서 론

NOx 저감 기술은 1970년대 후반부터 많은 연구들이 수행되어 그 이론들이 확립되고 있는데, 그 중 1차 NOx 환원기술은 미분탄 연소시스템을 위해 개발되고 있다. 1차 NOx 환원기술은 주로, 회발성 물질에 지배되는 연료 과잉 영역(fuel rich zone,  $\lambda < 1$ )을 형성시키고, 이 영역에 존재하는 탄화수소계 중간생



**Fig. 1** Mechanism of NOx formation and reduction.

성물에 의해 Fig. 1과 같이 NO는 N<sub>2</sub>로 환원되어 NOx를 저감시킨다. 대표적인 1차 NOx 환원기술은 다음과 같다.

- ① 버너에서 공기다단(air staging)
- ② 노내에서의 공기다단(OFA)
- ③ 버너에서 연료다단(fuel staging)
- ④ 연소실에서 연료다단(reburning)

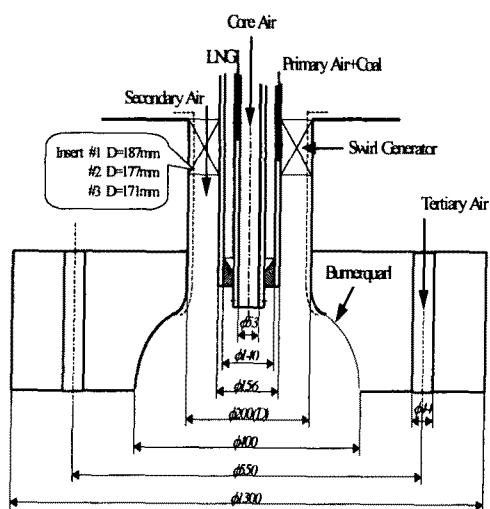
일반적으로 공기 다단기술을 적용한 상용플랜트에서는 약 400ppm (6% O<sub>2</sub>), 다중 공기다단과 재연소 기술을 적용한 현대적 보일러에서는 200~250ppm (6% O<sub>2</sub>)의 NOx가 방출되는 것으로 알려져 있다.

본 논문에서는 NOx 저감기술을 규명하기 위하여 제작/설치된 1.0MW<sub>th</sub> 석탄 실험연소로에서 공기다단 연소실험을 통한 연소성능과 공해물질 배출특성에 대한 결과를 고찰하고자 한다.

## 2. 실험장치 및 방법

### 3.1 실험장치

Fig. 2는 본 연구에 사용된 공기다단 용 버너의 개략도를 나타낸 것이다. 중심에서 중심(core)공기가 공급되고, 그 주위로 1차공기와 석탄이 분사되며 바깥으로 2차공기가 공급된다. 설치된 버너의 형식은 중심, 1차, 2차공기 및 석탄은 컬(quarl) 내로 공급되고, 3차공



**Fig. 2** Air-staged burner.

기는 컬 외부에서 4개의 덕트를 통해 공급되는 EASB (externally air staging burner)형식이다. 여기서 1차영역 공기비  $\lambda_p$ 는 식(1)과 같이 공급되는 석탄이 요구하는 이론 공기량(즉, 과잉공기비가 1.0 일 때의 공기량)에 대한 컬 내부로 실제 공급되는 공기량의 비로 정의하며, 석탄이 1차적으로 연소되는 환원영역(reduction zone)의 공기비를 의미한다.

$$\lambda_p = \frac{\text{air supply through quarl}}{\text{stoichiometric air requirement}} \quad (1)$$

### 3.2 분석 및 측정

실험탄 및 회분(ash)의 성상을 파악하기 위해 공업 및 원소분석을 수행하였는데, 전자는 TGA-501 (LECO 사)로, 후자는 CHN-600 (LECO 사)과 SC-432(LECO 사)로 분석하였다. 또한 연소율(burnout, Tx)은 연소로의 수평관 입구에서 샘플링된 회분을 분석하여, 식 (2)와 같이 구하였다.

$$T_x = \left( \frac{1 - A_0/A_1}{1 - A_0} \right) \times 100 \quad (2)$$

여기서  $A_0$ 는 연소전의 회분량(wt%)이고,  $A_1$ 은 연소후의 회분량(wt%)이다.

연료의 열적특성을 분석하기 위해 열중량 분석기(TGA131, CHAN사)를 사용하였으며, NOx는 유인송풍기 전단에서 화학발광식 분석기(Model 42, Thermo Environment사)를 사용하여 측정하였다. 연소로내의 온도 및 산소농도분포는 수냉식 프로브를 노내부에 직접 삽입하여 측정위치를 옮겨가며 측정하였다. 내화물 및 연소로내의 온도측정에는 R-type의 열전대로 측정하였으며, 흡입된 연소ガ스를 이용하여 산소농도를 동시에 측정하였다.

### 3. 실험결과

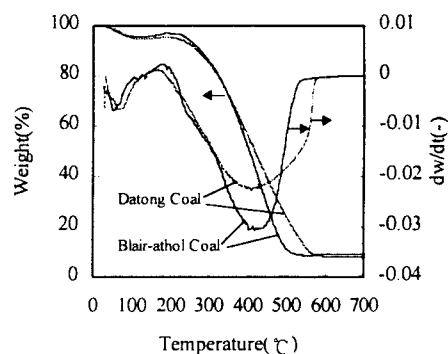
#### 3.1 연료탄의 특성

Table 1에는 실험에 사용된 호주산 Blair-athol 탄과 중국산 Datong 탄의 특성을 나타내었다. 석탄공급 장치에서 공급되는 미분탄 입자는 80  $\mu\text{m}$  이하의 크기를 가지는 입자가 83.4%를 차지하고 있다. 발전소에서는 역청탄의 경우 미분탄 입자는 75  $\mu\text{m}$ 이하가 75%가 되는 탄을 사용하고 있으므로, 본 연구에 사용된 것과 거의 유사하다. Fig. 3은 미분탄에 대한 열중량분석(TGA) 결과이다. 비등온시 온도변화에 따른 시료의 무게변화와 감소속도를 나타낸 것으로 내고 있다. 연소시작점(IT)은 무게변화가 1%/min 이상인 온도, 연소반응 종료점(BT)은 역시 무게변화가 1%/min 이하인 온도라고 정의하고, 무게변화가 최대인 점(PT)와 최대 무게변화량( $dw/dt$ )max를 정리하면 Table 2와 같다.

**Table 1 Coal analysis**

Item	Blair-athol	Datong
Proximate Analysis (wt%)	Moisture	8.2
	Volatile	28.3
	F.Carbon	55.4
	Ash	8.1
Ultimate Analysis (wt%)	c	71.0
	h	3.9
	n	1.9
	s	0.3
	o	14.1
	a	8.8
	w	-
Heating Value (kJ/kg)	HHV	27,027
	LHV	26,126
		27,994
		27,006

석탄의 무게 감량 기울기는 탄종에 관계없이 거의 동일 무게 감량 기울기를 보이며, 280°C 부근에서 급격한 무게 감량이 이루어졌다. 또한 최대로 활성화되는 온도는 각각 405°C(Blair-athol)와 412°C(Datong)이며, 이때 최대 무게 변화량( $(dw/dt)_{\text{max}}$ )은 각각 0.0307%/sec과 0.0224%/sec이다. 연소시작점(IT)는 거의 동일하지만, 연소반응 종료온도(BT)는 약 30°C 정도 Datong 탄이 높았다. 따라서 Blair-athol 탄의 연소성이 좋은 것으로 사료된다.



**Table 2 Result of TGA**

Item	Blair-athol	Datong
IT	320°C	324°C
BT	492°C	521°C
PT	405°C	412°C
$(dw/dt)_{max}$	0.0307%/sec	0.0224%/sec

호주산 Blair-athol 탄을 연소시켰을 때 연소로 내부에 형성된 슬래그는 연소로 Roof 와 벼너주변에서 형성되기 시작하여 벽면까지 형성되어 있었으나 수평관의 입구에는 형성되지 않았다. 슬래그의 형태는 반복되는 연소과정에 의해 퇴적과 용융이 반복되는 형상을 가졌다. 그러나 중국산 Datong 탄의 슬래그는 연소로 Roof 와 벼너주변 뿐

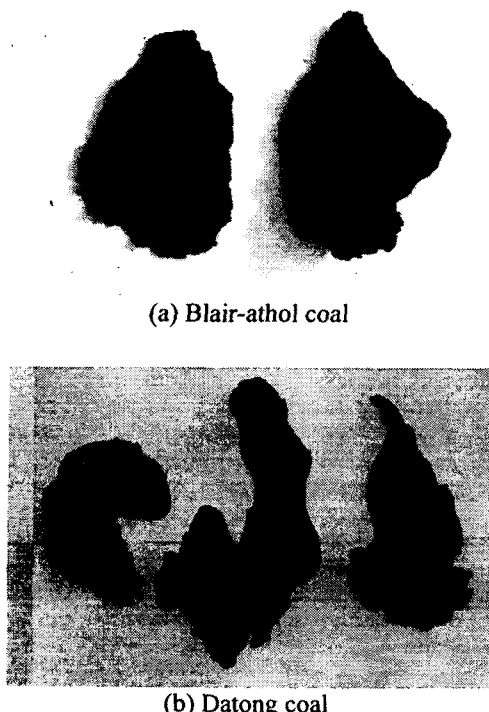
만 아니라 연소로 내부 전반에 걸쳐 형성되어 있었으며, 특히 수평관 입구를 막아 연소로 내의 압력 조절을 방해하기도 하였다. Datong 탄의 슬래그의 형태는 고온에 의해 용융되어 Bottom ash hopper 로 탈락된다. Fig. 4 는 호주산 Blair-athol 탄과 중국산 Datong 탄의 연소 후 발생된 슬래그의 형상을 나타낸 사진이다.

### 3.2 공기다단시 연소특성

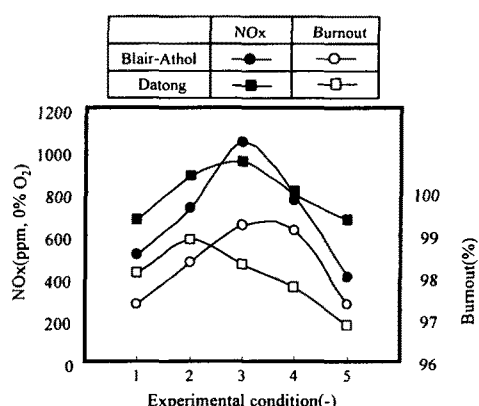
Table 3 은 공기다단 실험을 하기 위한 연소용공기의 분배비율을 나타낸다. Fig. 5 는 실험조건별 NOx 와 연소율의 변화를 나타내었다. 2 차공기가 100% 공급되는 실험조건 2 를 기준으로 중심공기가 다단 공기로 공급되면 NOx 가 저

**Table 3 Experimental condition**

	1	2	3	4	5
Core(%)	25	0	25	0	0
2nd(%)	75	100	50	60	40
3rd(%)	-	0	25	40	60
$\lambda_p$	1.2	1.2	0.87	0.80	0.62



**Fig. 4 Photography of slag**



**Fig. 5 Effect of experimental condition on NOx emission**

감되지만, 연소율도 감소한다(실험조건 1). 또한 3 차공기를 다단공기로 공급하면, 다단 공기량이 40%이하인 경우에는 Datong 탄 실험조건 3 의 연소율을 제외하고 NOx 배출과 연소율이 증가하였지만(실험조건 3,4), 다단공기량을 40%이상으로 점점 증가시킬수록 NOx 와 연소율이 감소하는 경향을 보였다(실험조건 5). Fig. 6 은  $\lambda_p$ 의 변화에 따른 NOx 배출 특성을 나타낸 것이다.  $\lambda_p$  가 0.6에서 0.9로 증가함에 따라 NOx 배출은 증가하였다. Fig. 7 은  $\lambda_p$ 의 변화와 연소율과의 관계를 나타낸 것으로,  $\lambda_p$  가 증가해도 연소율이 큰 변화는 없으나, 전

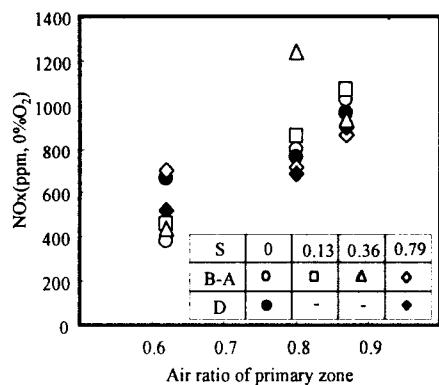


Fig. 6 Effect of primary zone air ratio( $\lambda_p$ ) on NOx emission

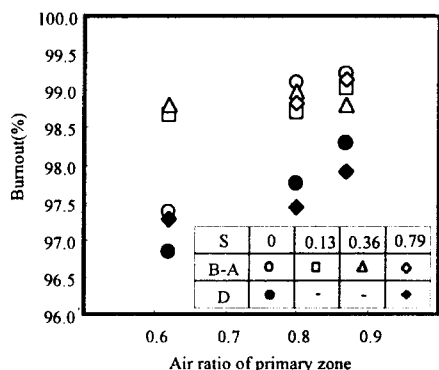


Fig. 7 Effect of primary zone air ratio( $\lambda_p$ ) on burnout

체적으로 조금 증가하는 경향을 보인다.

Fig. 8 은 중심공기가 NOx 배출과 연소율에 미치는 영향을 나타낸 것이다. 전반적으로 3 차 공기 즉 다단공기의 비율이 40% 이상이 되면, NOx 가 감소하기 시작함을 알 수 있었다. 다단공기 비율이 0 인 조건(다단연소를 하지 않는 경우)을 제외한 나머지 조건에서는 중심공기가 공급되는 조건(점선)이 공급되지 않는 조건(실선)보다 NOx 를 많이 배출하고 있다. 또한 중심공기가 공급되면, 연소율은 증가하지만, NOx 역시 증가하게 되는 것을 알 수 있다.

NOx 의 생성은 Fig. 1 과 같이 설명된다. 석탄에 포함된 연료-N 은 화염속에서 HCN 으로 급속하게 전환되고, O 및 H 와 반응하여 상대적으로 천천히 NH<sub>i</sub>(i = 0, 1, 2, 3)로 전환된다. NH<sub>i</sub>는 O 및 OH 라디칼과 반응하면, NO 를 생성하지만 NO 와 반응하면 N<sub>2</sub>로 환원된다. 연료-N 에 의해 생성된 HCN 의 가스상 반응이 난류확산 석탄화염에서는 NOx 의 생성을 지배하므로, NOx 는 석탄의 휘발성 물질에 의해 생성되고, 탈휘발과정 동안에 형성된 석탄가스분위기에 의해 제어되어 최소화 되는 것으로

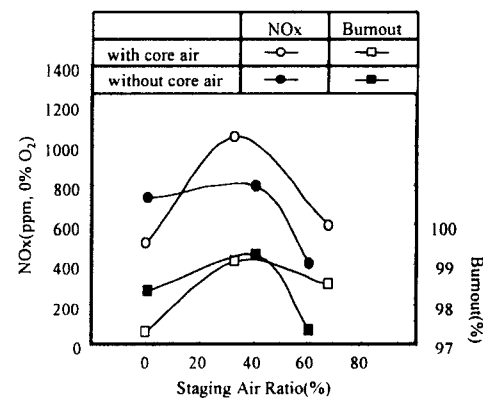


Fig. 8 Effect of staging-air on NOx, burnout(S=0)

사료된다. 또한 만약 석탄입자가 산소가 희박한 영역에서 탈휘발 된다면 휘발성 질소화학종( $\text{NH}_x$ )이 Fig. 1 의 (I)반응과 같이 열분해에 의해 생성된 탄화수소계 중간생성물(H) 또는 NO 와 반응하여 질소분자로 감소된다.

본 연구에 사용된 EASB 베너는 연료가 과농한 1 차 반응영역을 형성시키므로 이 영역에서 미 연소된 촉(char)가 잔존하게 되고, 이것은 화염의 외부 즉, 베너의 커널 외부에서 공급되는 공기(3 차 공기)의 주입에 의해 완전연소 된다. 중심공기의 공급이 NO<sub>x</sub>의 저감에 기여를 하지 못하는 것은 중심공기가 석탄 이송용 공기(1st air)와 함께 1 차영역으로 유입하여 1 차영역공기비를 증가시키게 되므로, Fig. 1 의 (II)반응과 같이 휘발성 질소화학종이 O 및 H 와 반응하여 NO 를 생성시키기 때문인 것으로 사료된다. 또한 중심공기의 공급은 1 차영역에서 상대적으로 난류강도를 증가시키게 되므로 석탄과 공기의 혼합을 원활하게 하여 연소를 촉진시키게 되어, 국소적인 고온영역을 형성시켜 열적 NO<sub>x</sub>의 발생 역시 증가된 것으로 사료된다. 그러나 다단공기(3 차공기)가 공급되지 않고 중심공기가 공급되는 조건이 NO<sub>x</sub> 배출이 감소한 것은 2 차공기가 다단공기의 역할을 한 결과로 사료된다.

#### 4. 결 론

1MW<sub>th</sub> 실험연소로에서 NO<sub>x</sub> 저감을 위한 공기다단의 효과를 실험한 결과, 다음과 같은 결론을 얻었다.

1.  $\lambda p$  가 낮을수록 즉, 1 차 영역에서 연료가 과농할수록 NO<sub>x</sub> 가 저감되

는 것은 환원영역이 형성되어 휘발성 질소산화물이 N<sub>2</sub>로 전환되기 때문이다.

2. 다단공기량이 증가할수록 NO<sub>x</sub> 가 저감되며, 다단공기의 공급량은 전체 공기량의 40%이상이 되야 한다.
3. 다단공기가 공급되는 경우에 중심공기의 공급은 연소율은 증가시켰지만, 1 차영역의  $\lambda p$  를 증대시켜 휘발성 질소산화물이 O 및 OH 와 반응하여 NO 를 생성하므로 NO<sub>x</sub> 배출 저감에는 효과가 없었다.
4. 다단공기가 공급되지 않는 경우에 중심공기의 공급은 2 차공기가 다단공기로 되어 NO<sub>x</sub> 배출을 저감시켰으나, 연소효율 증대면에서는 효과가 없었다.

#### 참고문헌

- (1) H.Maier, H.Spliethoff, A.Kicherer, A.Fingerle and K.R.G.Hein, *Fuel*, Vol. 73 No.9, pp.1447~1452, 1994
- (2) U.Schnell, M.Kaess, H.Brodbeck, *Combust. Sci. and Tech.*, Vol. 93, pp 91-109, 1993
- (3) 장길홍, 장인갑, 정석용, 선칠영, 천무환, 대한기계학회 99년도 춘계학술대회 논문집(B), pp.724 ~729, 1999
- (4) R.Weber, J.P.Smart and W.J.Phelan, *IFRF Doc. No. F037/a/16*, 1987.
- (5) R.Weber and J.P.Smart, *IFRF Doc. No. F037/a/16*, 1987.